

СООБЩЕНИЯ
ОБЪЕДИНЕННОГО
ИНСТИТУТА
ЯДЕРНЫХ
ИССЛЕДОВАНИЙ
ДУБНА



СЗ41.16
3-911

74-69

14/11-75
6 - 8518 Е

К.Зубер

976 / 2-75

ИССЛЕДОВАНИЕ ВОЗБУЖДЕННЫХ СОСТОЯНИЙ
ИЗОТОПОВ ТЕРБИЯ

II. Распад $^{157}\text{Dy} \longrightarrow ^{157}\text{Tb}$

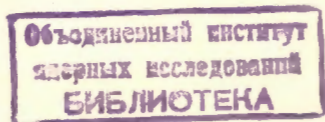
1975

6 - 8518

К.Зубер*

ИССЛЕДОВАНИЕ ВОЗБУЖДЕННЫХ СОСТОЯНИЙ
ИЗОТОПОВ ТЕРБИЯ

II. Распад $^{157}\text{Dy} \rightarrow ^{157}\text{Tb}$



* Институт ядерной физики, Краков, ПНР.

Введение

Исследованию свойств возбужденных состояний ^{157}Tb посвящено несколько работ /1-3, 5, 11, 12/. В работе /3/ представлена схема распада ^{157}Dy . Перссон и др. /5/ и В.Гнатович и др. /1/ исследовали спектры электронов внутренней конверсии, возникающие при распаде ^{157}Dy . Винтер и др./11/ в опытах по $(d, 2n\gamma)$ и (p, γ) реакциям исследовали взаимодействие ротационных полос, возбужденных до спинов $I = 19/2$. Для спинов основного состояния ^{157}Tb /3/ и ^{157}Dy /10/ получено значение $3/2$.

В настоящей работе приводятся результаты измерений гамма-спектров и спектров электронов внутренней конверсии. Экспериментальные результаты сравниваются с расчетами /13/, проведенными в рамках сверхтекущей модели с учетом взаимодействия квазичастиц с фононами.

Зубер К.

6 - 8518

Исследование возбужденных состояний изотопов тербия.

II. Распад $^{157}\text{Dy} \rightarrow ^{157}\text{Tb}$

Исследованы спектры гамма-лучей и конверсионных электронов при распаде ^{157}Dy . Предложена схема распада $^{157}\text{Dy} \rightarrow ^{157}\text{Tb}$. Экспериментальные результаты сравниваются с расчётами, проведенными в рамках сверхтекущей модели с учётом взаимодействия квазичастиц с фотонами.

Сообщение Объединенного института ядерных исследований
Дубна 1975

1. ЭКСПЕРИМЕНТАЛЬНАЯ ЧАСТЬ

a/ Приготовление радиоактивных источников ^{157}Dy

Радиоактивные изотопы диспрозия получались в реакции глубокого расщепления тантала протонами с энергией 660 МэВ на синхроциклотроне ОИЯИ. Мишени тантала облучались на внутреннем пучке протонов в течение 2 час. После облучения фракция диспрозия выделялась хроматографическим методом.

Для исследования гамма-спектров использовались моноизотопные источники ^{157}Dy , полученные при разделении диспрозия по изотопам на масс-сепараторе. Радиоактивные источники ^{157}Dy для исследований спектров

конверсионных электронов получались при облучении мишени $^{155}\text{Gd}_2\text{O}_3$ α -частицами с энергией 28 МэВ на циклотроне У-120 в ИЯФ /Краков/. После облучения из мишени хроматографическим методом выделялся ^{157}Dy , который наносился на алюминиевую фольгу.

б/ Исследование спектров гамма-лучей ^{157}Dy

Спектры гамма-лучей ^{157}Dy исследовались с помощью полупроводниковых Ge(Li) -детекторов с чувствительными объемами: 0,5 см³ /разрешение 0,8 кэВ при $E_\gamma = 121$ кэВ/ и 41 см³ /разрешение 2,8 кэВ при $E_\gamma = 1332$ кэВ/. Спектры гамма-лучей в области больших энергий измерялись путем применения фильтра-поглотителя /3 мм Pb + 0,5 мм Gd + 0,5 мм Cu/. В табл. 1 в колонках 1 и 2 приведены результаты измерений энергий и интенсивности, соответственно. Для нормировки интенсивности гамма-лучей принято, что интенсивность перехода 326,4 кэВ равняется 10 000 единиц. Для сравнения в колонке 3 приведены результаты работы /3/.

в/ Исследование спектров электронов внутренней конверсии /ЭВК/

Спектры ЭВК в области энергии до 1200 кэВ исследовались с помощью безжелезного тороидального бета-спектрометра /4/, с разрешением $R \approx 1\%$ и светосилой $T \approx 20\%$. Результаты исследования ЭВК приведены в табл. 1 в колонке 4. В работе /5/ измерен коэффициент внутренней конверсии перехода 326,4 кэВ и получена величина $a_k / 326,4 / = 11,6 \pm 1,5 / \cdot 10^{-3}$, что совпадает с теоретической величиной КВК для мультипольности E1/ $a_{\text{теор.}} / 326,4 / = 11,3 \cdot 10^{-3}$. Поэтому экспериментальные КВК /колонка 5/ нормированы по теоретической величине КВК-перехода 326,4 кэВ/мультипольность типа E1/. Для сравнения в колонках 6,7 и 8 даны теоретические величины КВК для переходов с мультипольностями M1, E2 и E1. Из сравнения теоретических и экспериментальных величин КВК сделан вывод о мультипольностях переходов /колонка 10/.

Таблица 1.

Энергия, относительные интенсивности гамма-лучей и конверсионных электронов, возникавших при распаде ^{157}Dy , КВК и мультипольности переходов в ядре ^{157}Tb .

| $E_\gamma \pm \Delta E_\gamma$ | $I_\gamma \pm \Delta I_\gamma$ | работа /3/ | $I_K \pm \Delta I_K$ | $\alpha_{K\gamma}^{\text{эксп.}}$ | $\alpha'_{\text{к теор.}} \cdot 10^3$ | | | $I_{\text{M1}}^{\text{теор.}}$ | $I_{\text{E2}}^{\text{теор.}}$ | $I_{\text{E1}}^{\text{теор.}}$ | Мультиполь. |
|--------------------------------|--------------------------------|------------|----------------------|-----------------------------------|---------------------------------------|------|------|--------------------------------|--------------------------------|--------------------------------|--------------|
| | | | | | M1 | E2 | E1 | | | | |
| 60.8±0.05 | 32.1±3.3 | 48±30 | | | | | | | | | 326 MI+E2 6) |
| 83.0±0.05 | 43.0±3.6 | 67±20 | | | | | | | | | 200 MI+E2 6) |
| 143.8±0.2 | ~7 | 8 | 174±20 | ~248 | 650 | 410 | 36 | 8.3 | E2 | | |
| 182.6±0.2 | 156.6±7.2 | 240±120 | 960±50 | 61±7 | 335 | 203 | 52 | 162 | E1 | | |
| 265.6±0.3 | 22.6±2.4 | 27±10 | 76±9 | 34±8 | 125 | 69 | 20 | 22.2 | E1 | | |
| 296.8±0.5 | ~6.5 | 9 | | | | | | | | | 6.2 |
| 326.4±0.05 | 10000 | 10000 | 11300 | 11.3 | 74 | 38 | 11.3 | 9652 | E1 | | |
| 405.1±0.1 | 2.4±0.2 | 1.7 | 1.8±0.2 | 7.5±1.5 | 41 | 19.6 | 6.6 | 2.3 | E1 | | |
| 498.6±0.2 | 1.3±0.1 | 1.1 | 0.7±0.2 | 5.6±1.9 | 24 | 10.8 | 4.2 | 1.2 | E1 | | |
| 553.0±0.2 | 1.2±0.1 | 1.3±0.4 | 3.5±0.4 | 29.2±6.2 | 18.3 | 9.4 | 3.4 | 1.1 | MI | | |
| 576.1±0.2 | 3.5±0.4 | 3.2±0.6 | 6.5±0.6 | 18.7±2.0 | 16.6 | 8.5 | 3.1 | 3.3 | MI | | |
| 597.5±0.1 | 8.9±0.7 | 8.4±1.7 | 14.7±1.0 | 16.5±1.7 | 14.5 | 7.6 | 2.8 | 8.6 | MI | | |
| 636.9±0.5 ^{a)} | 3.6±0.2 | 3.6±0.1 | 7.5±0.5 | 21.0±2.5 | 6.5 | 2.4 | 3.4 | MI | | | |

Таблица 1 (продолжение)

| | 1 | 2 | 3 | 4 | 5 | 6 | 7 | 8 | 9 | 10 |
|------------|----------|-----------------|---------|---------|-----|------|------|------|--------------|------|
| 697.7±0.2 | 0.2±0.05 | 0.3±0.15 | | | | | | | | 0.19 |
| 744.6±0.6 | 5.5±0.6 | 5.4±1.1 | 2.2±0.2 | 4.1±0.7 | 8.7 | 4.5 | 1.8 | 5.2 | E2 | |
| 769.8±0.1 | 3.0±0.2 | 2.6±0.6 | 1.9±0.5 | 6.4±2.1 | 7.9 | 4.4 | 1.7 | 2.8 | M1 | |
| 775.9±0.2 | 5.9±0.4 | 5.8±1.2 | 3.4±0.7 | 5.7±1.7 | 7.6 | 4.3 | 1.65 | 5.7 | M1+E2 | |
| 895.1±0.3 | 0.3±0.1 | 0.3±0.2 | 0.2 | 9.3 | 5.5 | 3.0 | 1.27 | 0.28 | (M1) M1(+E2) | |
| 900.5±0.4 | 0.15 | | | | | | | | | 0.19 |
| 930.8±0.2 | 0.8±0.1 | 1.0±0.3 | 0.4 | 5.8 | 4.9 | 2.8 | 1.17 | 0.76 | (M1) E2 | |
| 983.2±0.3 | 0.1 | 0.1 | 0.8±0.2 | 80.0 | 4.4 | 2.5 | 1.06 | 0.09 | M1+E2+E0 | |
| 991.7±0.2 | 0.3 | 0.3±0.1 | 2.3±0.7 | 80±20 | 4.3 | 2.45 | 1.04 | 0.28 | M1+E2+E0 | |
| 1041.3±0.3 | 0.3±0.05 | $\{0.5\pm0.2\}$ | | | | | 0.28 | | | |
| 1044.1±0.2 | 0.2±0.05 | | | | | | 0.19 | (M1) | | |
| 1102.4±0.4 | 0.3±0.1 | 0.2±0.1 | | | | | 0.28 | E1 | | |
| 1214.5±0.5 | 0.3±0.1 | 0.2±0.1 | | | | | 0.28 | | | |
| 1275.5±0.5 | 0.6±0.1 | 0.5±0.2 | | | | | 0.57 | | | |

а) Сложный переход.

б) Мультипольность перехода определена в работе /3/.

г/ Схема распада ^{157}Dy

Схема распада $^{157}\text{Dy} \rightarrow ^{157}\text{Tb}$, предлагаемая на основе результатов настоящих исследований и исследований, проведенных в работах /3, 5/, изображена на рис. 1. Вероятности заселения уровней рассчитаны из баланса интенсивностей гамма-переходов. На рис. 1 указаны предлагаемые квантовые характеристики энергий и вероятности заселения уровней. Величина $Q_{EC} = /1362 \pm 13/ \text{ кэВ}$ принята согласно работе /6/.

2. ОБСУЖДЕНИЕ ЭКСПЕРИМЕНТАЛЬНЫХ РЕЗУЛЬТАТОВ

а/ Основное состояние ^{157}Dy и ^{157}Tb

Ламм /7/, используя метод Беса и Шиманского /8/, провел расчет равновесной деформации для нечетных ядер тербия и диспрозия в зависимости от ϵ и ϵ_4^+/e и ϵ_4^- - значения квадрупольной и гексадекапольной деформации, соответственно/. Результаты этих расчетов даны в табл. 2.

Согласно Ламму, основные состояния ^{157}Dy и ^{157}Tb имеют квантовые характеристики $3/2^-/521/$ и $3/2^+/411/$, соответственно. Величина спина основных состояний ^{157}Dy и $^{157}\text{Tb}/3/2/$ подтверждена экспериментально А. Розеном и др. /9, 10/.

б/ Ротационная полоса основного состояния $3/2^+/411/$

В работах /2, 5/ на основе совпадений перехода $60,8 \text{ кэВ}$ с $83,0 \text{ кэВ}$ введены уровни $60,8$ и $143,8 \text{ кэВ}$. Первый возбужденный уровень $60,8 \text{ кэВ}$ связывает с основным состоянием переход $60,8 \text{ кэВ}$. Мультипольность $M1+E2$ для перехода $60,8 \text{ кэВ}$ и вероятность заселения $/lg(f_1) = 7,6/$ позволяют определить спин уровня как $I'' = 5/2^+$.

Таблица 2

| Ядро | ε | ε_4 | Квантовые характеристики |
|-------------------|---------------|-----------------|--------------------------|
| ^{157}Dy | 0,216 | -0,022 | $3/2^- /521/$ |
| ^{157}Tb | 0,23 | -0,026 | $3/2^+ /4II/$ |

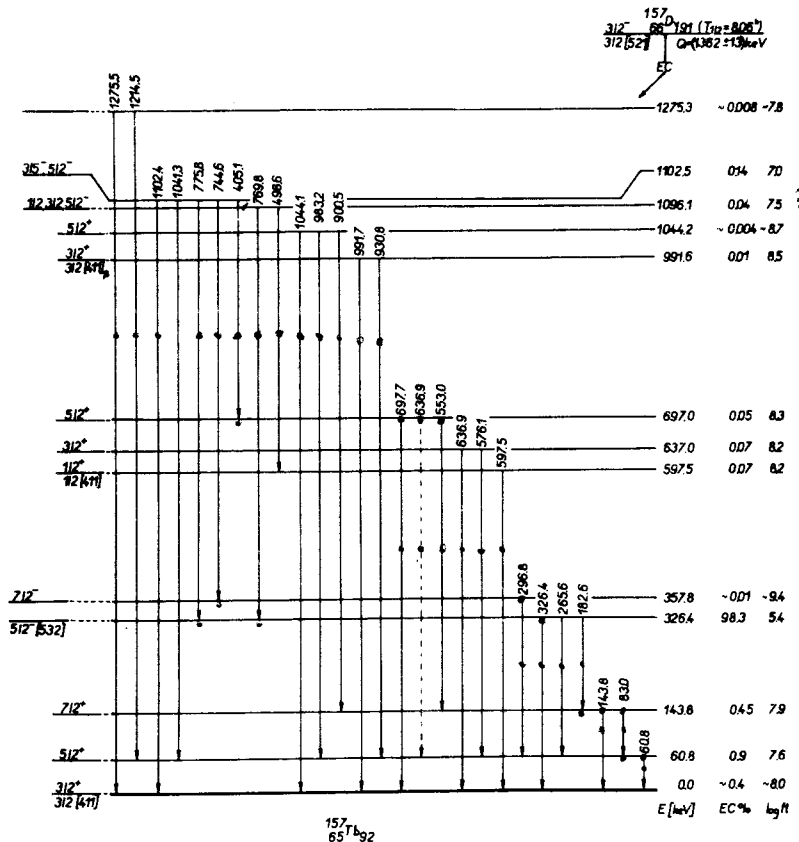


Рис. 1

Уровень 143,8 кэВ разряжается переходами 83,0 кэВ /M1+ E2/ и 143,8 кэВ/E2/. Определение мультипольности для этих переходов позволяет нам установить спин уровня 143,8 кэВ как $7/2^+$. Не обнаружено в этой полосе состояния $9/2^+$, но для него разница спинов $\Delta I'' = 3^-$, и заселение должно быть незначительным.

Винтер и др./11/ в ($d, 2n\gamma$) и ($p, n\gamma$) реакциях наблюдали ротационную полосу основного состояния $3/2^+ /4II/$ до значения спина $19/2$. Итак, уровни 60,8 и 143,8 кэВ являются членами этой полосы.

в) Возбужденные состояния ротационной полосы $5/2^- /523/$ и $5/2^+ /413/$

Гамма-переход 326,4 кэВ с интенсивностью 96,5 на 100 распадов является самым сильным переходом, наблюдаемым в распаде ^{157}By . Исходя из этого, принято, что он определяет уровень с энергией 326,4 кэВ.

Уровень 326,4 кэВ разряжается переходами 182,6 /E1/, 265,5 /E1/ и 326,4 /E1/ кэВ, что позволяет установить его спин как $5/2^-$. Электронный захват на этот уровень является аномально ускоренным /примерно в 6 раз/, что пока трудно объяснить. В схеме Саксона-Вудса состояние со спином $5/2^-$ в этой области обладает квантовыми характеристиками $5/2^- /523/$. Уровень 357,8 кэВ со спином $7/2^-$ - это второй уровень ротационной полосы $5/2^- /532/$.

В работе /11/ уровни ротационной полосы $5/2^- /523/$ возбуждались до спина $19/2$. Итак, уровни 326,4 и 357,8 кэВ не являются членами этой полосы.

Исследуя возбужденные состояния ^{157}Tb в ($d, 2n\gamma$) и ($p, n\gamma$) реакциях, авторы работы /11/ обнаружили ротационную полосу $5/2^+ /413/$, основанную на уровне с энергией 327,6 кэВ. В распаде ^{157}Dy этого уровня не обнаружено.

γ / β - и γ -вibrационные состояния

В наших исследованиях подтверждено существование уровней $597,5 /1/2^+$, $637,0 /3/2^+$ и $697,0 /5/2^+$ кэВ, ранее предложенных в работах /2, 3/.

Эта группа уровней обладает моментом инерций с точностью до $\approx 10\%$ таким же, как и уровни ротационной полосы основного состояния, что свидетельствует о сходстве их структур. Не исключено, что эти уровни принадлежат к ротационной полосе, построенной на вибрационном состоянии $3/2^+ /411/-Q_1(22)$. Авторы работы /12/, исследовав возбужденные состояния ^{157}Tb в реакциях (a, ν) и ($^3\text{He}d$), предлагают для уровня $597,5$ кэВ квантовые характеристики $1/2^+ /411/$ и считают, что это одночастичный уровень. Предложенных ими уровней $969 /1/2^+$, $1007 /3/2^+$ и $1083 /5/2^+$ кэВ γ -вибрационной полосы в распаде мы не наблюдали. Пока однозначно установить структуру уровней $597,5$; $637,0$; и $697,0$ кэВ не удается.

Уровни $991,7$ и $1044,2$ кэВ разряжаются переходами $991,7$ и $1044,2$ кэВ, для которых установлена мультипольность типа $M1+E2+E0$. Примесь мультипольности типа $E0$ свидетельствует о вибрационном характере этих уровней.

Учитывая эти обстоятельства, можно сказать, что уровни $991,7 /3/2^+$ и $1044,2 /5/2^+$ кэВ принадлежат к β -вибрационной полосе $3/2^+ /411/+Q_1/20//$.

δ / Другие уровни

Слабо заселяемые уровни $1096,1$ кэВ и $1275,3$ кэВ пока трудно интерпретировать. Заселение уровня $1102,5$ кэВ электронным захватом /0,14%/ дает $lg(f_1)$ равный $7,0$, что по правилам Алаги определяет $\Delta n_z = +2$.

Используя соотношение интенсивностей переходов, идущих на ротационные полосы $3/2^+ /411/$ и $5/2^- /532/$ и $\Delta n_z = +2$ /из $lg(f_1)$ /, можно предложить квантовые характеристики для уровня $1102,5$ кэВ как $3/2^- /541/$. Теоретические расчеты /табл. 3/ дают для состояния $3/2^- /541/$ энергию 1370 кэВ.

Таблица 3

Сопоставление неротационных состояний ^{157}Tb , наблюдавшихся в эксперименте с состояниями, рассчитанными в /13/.

| ^{157}Tb | | | | | |
|-------------------|------------------------|-------------------------|-----------------------------------------------------------------|----------------------------------------------------------------|--|
| КП | E _{уп.} (кэВ) | | Структура состояний, % | | |
| | экспер. | теор./13/ | | | |
| $3/2^+$ | 0 | 0 | $4II\downarrow 93\%$, | $4III\downarrow + Q_1(22) 4\%$ | |
| $7/2^- (572)^*$ | 360 | 523 $\downarrow 95\%$, | $4II\downarrow + Q_1(32) 2\%$ | | |
| $5/2^+ (327)^*$ | 380 | 4I3 $\downarrow 96\%$, | $4II\downarrow + Q_1(22) 2\%$ | | |
| $5/2^-$ | 326 | 530 | $532\downarrow 94\%$, | $550\downarrow + Q_1(22) 2\%$ | |
| $1/2^+$ | 597 | 640 | $4II\downarrow 64\%$, | $4II\downarrow + Q_1(22) 26\%$, $4I3\downarrow + Q_1(22) 7\%$ | |
| $3/2^+$ | 991 | 1300 | | $4II\downarrow + Q_1(20) 100\%$ | |
| $3/2^- 1096$ | 1370 | 541 $\downarrow 48\%$, | $4II\downarrow + Q_1(30) 39\%$ | | |
| $5/2^+$ | 1390 | 402 $\downarrow 49\%$, | $4I3\downarrow + Q_1(20) 32\%$, $523\downarrow + Q_1(31) 10\%$ | | |
| $7/2^+$ | 1400 | | $4II\downarrow + Q_1(22) 97\%$ | | |
| $1/2^-$ | 1410 | 550 $\downarrow 21\%$, | $532\downarrow + Q_1(22) 72\%$, $541\downarrow + Q_1(22) 3\%$ | | |
| $1/2^+$ | 1425 | 420 $\downarrow 14\%$, | $4II\downarrow + Q_1(22) 72\%$, $532\downarrow + Q_1(32) 2\%$ | | |
| $5/2^+$ | 1450 | 420 $\downarrow 21\%$, | $4I3\downarrow + Q_1(20) 68\%$, $523\downarrow + Q_1(31) 5\%$ | | |
| $9/2^+$ | 1460 | | $4I3\downarrow + Q_1(22) 100\%$ | | |

* Уровень, предложенный в работе Винтера /II/.

e/ Сравнение с теоретическими расчетами

Авторы работы /13/ провели расчеты энергии и структуры неротационных возбужденных состояний ^{157}Tb в рамках сверхтекучей модели с учетом взаимодействия квазичастиц с фононами.

В расчетах, проведенных для деформации $\beta_{20} = 0,28$ и $\beta_{40} = 0,06$, использованы волновые функции и одночастичные энергии потенциала Саксона - Вудса.

В табл. 3 приведено сравнение экспериментальных результатов с теоретическими расчетами /13/.

Автор считает своим приятным долгом выразить глубокую признательность А.Хрынкевичу и К.Я.Громову за постоянный интерес к работе, И.И.Громовой и Т.Пэтрье за подготовку источников, а также Ц.Вылову, М.Госиору и А.Потемпе за помощь в проведении измерений.

Литература

1. В.Гнатович, К.Я.Громов, Ф.Н.Мухасимов. Препринт ОИЯИ, Р-2729, Дубна, 1965.
2. L.Funke, H.Grabner, K.-H.Kaun, M.Sodan, L.Werner, J.Frana. Nucl.Phys., 84, 449 (1966).
3. P.H.Blichert-Toft, E.C.Funk, J.W.Mihelich. Nucl.Phys., A100, 369 (1967).
4. M.Gasior. Post. Tech. Jadrowej, 9-10, 859 (1964).
5. Persson, M.Ryde, K.Oelsner-Ryde. Ark.Fys., 24, 451 (1963).
6. A.H.Wapstra, N.B.Gove. Nucl.Data Tables, A9, 276 (1971).
7. Inger-Lena Lamm. Nucl.Phys., A125, 504 (1969).
8. D.Bes, I.Szymański. Nucl.Phys., 28, 42 (1961).
9. A.Rosén, C.Ekström, H.Nygqvist, K.E.Ådelroth. Nucl.Phys., A154, 526 (1970).
10. K.E.Ådelroth, H.Nygqvist, A.Rosén. Physica Scripta V.2, 96 (1970).
11. G.Winter, L.Funke, K.-H.Kaun, P.Kemnitz, H.Sodan. Nucl.Phys., A176, 609 (1971).
12. J.C.Tippett, D.G.Burke. Can.J.Phys., 50, 3152 (1972).
13. V.G.Soloviev, S.I.Fedotov. JINR, E4-6055, Dubna, 1971.

Рукопись поступила в издательский отдел
9 января 1975 года.